

УДК 532.526.3.011.7

## О ПЕРЕХОДЕ ПОГРАНИЧНОГО СЛОЯ НА ПОВЕРХНОСТИ ТРЕУГОЛЬНОГО КРЫЛА ПРИ СВЕРХЗВУКОВОМ ОБТЕКАНИИ

БРАЖКО В. Н., КОВАЛЕВА Н. А., КРЫЛОВА Л. А.,  
МАЙКАПАР Г. И.

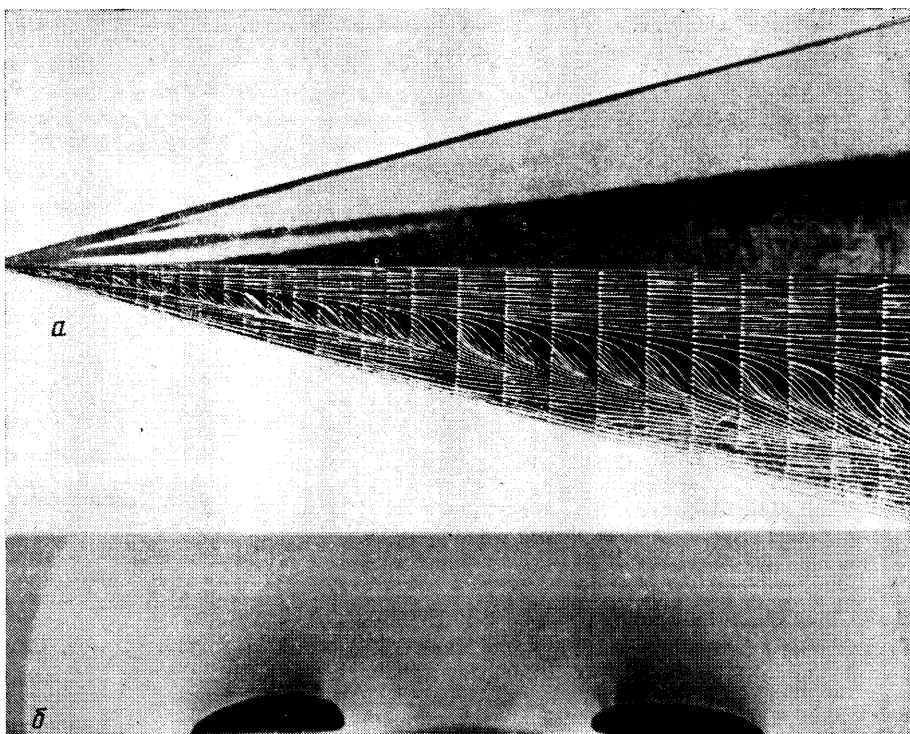
В сверхзвуковой аэродинамической трубе при числах Маха  $M_\infty=3-5$  выполнено экспериментальное исследование перехода ламинарного течения в турбулентное на поверхности треугольного крыла. Показано, что при  $M_\infty=3$ ,  $Re_L=6,5 \cdot 10^6$  и  $\alpha=-5,5^\circ$  большая часть верхней поверхности крыла в окрестности линии симметрии занята клиновидной областью турбулентного течения. Величины тепловых потоков в этой области достигают тех же значений, что и в максимумах теплоотдачи, индуцированных здесь отрывными течениями, и могут превышать турбулентный уровень тепловых потоков на наветренной поверхности крыла.

Изменение формы нижней поверхности крыла от плоской к пирамидальной приводит к ускорению перехода пограничного слоя на нижней поверхности.

При некоторых условиях обтекания в окрестности линии симметрии верхней плоской поверхности треугольного крыла может происходить переход ламинарного течения в турбулентное [1-3]. На плоской нижней поверхности треугольного крыла область перехода ламинарного пограничного слоя в турбулентный расположена намного ближе к его передней кромке [4-6], чем на прямом крыле. Увеличение угла наклона нижней поверхности в нормальном к передней кромке сечении приводит к еще более раннему переходу пограничного слоя [7]. При этом конец области перехода может быть расположен в непосредственной близости от передней кромки крыла. В областях турбулентного течения величины тепловых потоков существенно больше, чем при ламинарном обтекании.

Были исследованы условия возникновения и существования турбулентного течения на поверхности треугольного крыла. Модель представляла собой треугольное крыло с длиной корневой хорды  $L=0,245$  м и углом стреловидности острых передних кромок  $\chi=75^\circ$ . Угол клина в нормальном к передней кромке сечении составлял  $30^\circ$ . Числа Рейнольдса  $Re_L$ , вычисленные по параметрам набегающего потока и длине  $L$ , были равны  $(1,8-7) \cdot 10^6$ . Углы атаки отсчитывались относительно плоской поверхности крыла и изменялись в диапазоне  $-15^\circ \leq \alpha \leq 5,5^\circ$ . Данные по переходу получены с помощью измерения теплоотдачи к крылу методом термоиндикаторных покрытий [8].

1. На фиг. 1, *a* приведена совмещенная картина фотографий верхней поверхности крыла с термоиндикаторным покрытием (верхняя половина) и с предельными линиями тока (нижняя), полученными при  $M_\infty=3$ ,  $Re_L=7 \cdot 10^6$  и  $\alpha=-5,5^\circ$ . Черные области на поверхности крыла с термоиндикаторным покрытием — области повышенных значений тепловых потоков. Границам этих областей соответствует число Стантона  $St_\infty = -0,77 \cdot 10^{-3}$ , определенное формулой  $St_\infty = q_w / \rho_\infty u_\infty c_p (T_0 - T_w)$ , где  $q_w$  — местный тепловой поток,  $\rho_\infty$ ,  $u_\infty$  — плотность и скорость набегающего потока,  $c_p$  — удельная теплоемкость воздуха,  $T_0$  — температура торможения набегающего потока,  $T_w$  — температура поверхности модели. При вычислении  $q_w$  в качестве определяющей температуры использовалась  $T_0$ . Внутри границ значения  $St_\infty$  больше, а вне, в белых областях, меньше, чем на границе. Узкая полоса повышенных значений  $St_\infty$  в передней части крыла, расположенная вдоль луча, выходящего из вершины крыла, вызвана присоединением потока, оторвавшегося с передних кромок. Линии присоединения соответствуют линиям растекания на картине предельных линий тока. Именно на линии растекания расположен максимум тепловых потоков. Угол между линиями растекания практически не зависит от



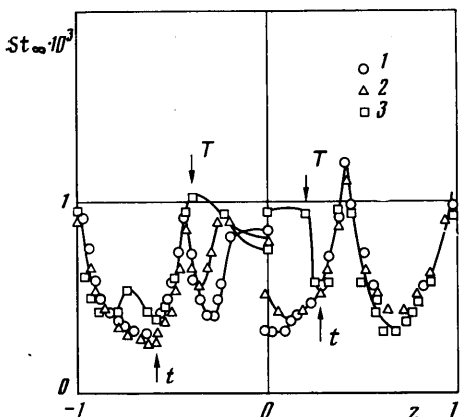
Фиг. 1

$Re_L$ . При увеличении числа  $M_\infty$  от 3 до 5 он уменьшается примерно от 13 до  $8^\circ$ . При этом точка, из которой выходят линии растекания, смещается из вершины крыла на линию симметрии верхней поверхности.

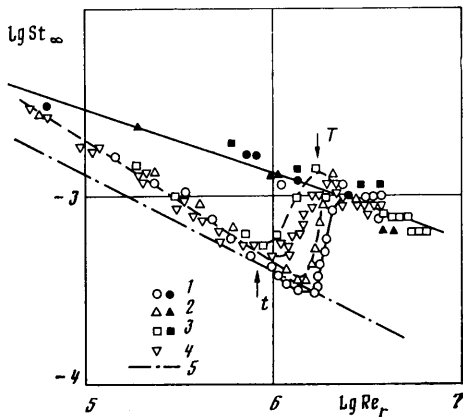
В области между линиями растекания наблюдается течение, параллельное линии симметрии. Здесь развивается новый пограничный слой, в котором происходит переход ламинарного течения в турбулентное в клиновидной области, качественно подобной областям перехода, существующим на наветренной поверхности плоских треугольных крыльев [6]. Угол при вершине турбулентного клина слабо зависит от параметров потока и при  $\alpha = -5,5^\circ$  равен приблизительно  $18^\circ$ .

На фиг. 1, б показана картина течения над верхней поверхностью крыла, полученная в поперечном сечении  $x/L=0,815$  методом «лазерного ножа» [8]. Координата  $x$  измеряется от вершины вдоль линии симметрии верхней поверхности крыла. Чёрные области представляют собой области отрывных вихревых течений. Затемненная область у поверхности крыла между ними — зона переходного и турбулентного течений. В исследованном диапазоне условий обтекания головная ударная волна отсоединенна от передних кромок крыла.

2. Влияние числа Рейнольдса на распределения  $St_\infty$  в поперечных сечениях верхней поверхности крыла при  $M_\infty=3$  и  $\alpha=-5,5^\circ$  показано на фиг. 2. В силу симметрии на графике приведены данные для половин сечений, справа — для  $x/L=0,36$ , слева —  $x/L=0,72$ . Координата  $z=0$  соответствует линии симметрии,  $z=\pm 1$  — кромкам крыла. Точки 1–3 получены при  $Re_L=3,9 \cdot 10^6$ ;  $4,6 \cdot 10^6$  и  $6,5 \cdot 10^6$ . При  $Re_L=3,9 \cdot 10^6$  область перехода и турбулентного течения наблюдается только во втором сечении ( $-0,3 < z < 0,3$ ) между первичными максимумами (пиками) теплоотдачи ( $z \approx \pm 0,42$ ), связанными с присоединением оторвавшегося потока. С увеличением  $Re_L$  начало области перехода сдвигается вперед к вершине крыла и увеличивается ширина области турбулентного течения. При  $Re_L=$



Фиг. 2



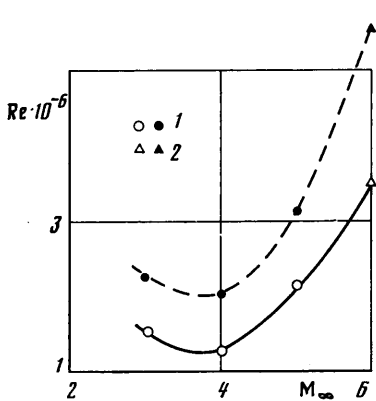
Фиг. 3

$=6,5 \cdot 10^6$  область турбулентного течения в первом сечении распространяется уже до  $z \approx \pm 0,2$ , а в сечении  $x/L=0,72$  — до  $z \approx \pm 0,4$ . Начало и конец перехода при этом числе Рейнольдса на графиках обозначены стрелками и буквами  $t$  и  $T$  соответственно. Видно, что определяющим фактором в образовании двух максимумов  $St_\infty$  во втором сечении при этом  $Re_L$  является переход ламинарного течения в турбулентное. Максимальные величины  $St_\infty$  в конце области перехода в обоих сечениях приблизительно равны их максимальным значениям в пиках теплоотдачи, индуцированных отрывом. вне области перехода и турбулентного течения изменение числа Рейнольдса практически не влияет на распределение  $St_\infty$ .

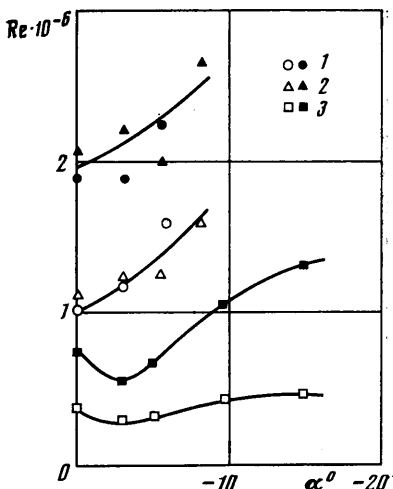
Продольные распределения  $St_\infty$  вдоль линии симметрии верхней поверхности крыла (светлые точки) и вдоль линий присоединения потока, оторвавшегося с передних кромок (темные точки), представлены на фиг. 3 для тех же условий обтекания, что и на фиг. 2 (точки 1—3). Точки 4 — экспериментальные данные, полученные при  $\alpha=0$ ,  $M_\infty=3$  и  $Re_L=3,6 \cdot 10^6$ . Для этих условий обтекания нанесена также расчетная зависимость 5 ламинарной теплоотдачи на пластине [9]. Число  $Re_t$  вычислено по параметрам набегающего потока и расстоянию  $r$  вдоль верхней поверхности крыла от его вершины до данной точки. На линии симметрии  $r=x$ . В области ламинарного течения на линии симметрии результаты для  $\alpha=0$  и  $-5,5^\circ$  совпадают, причем здесь  $St_\infty \sim Re_t^{-0,65}$ .

При нулевом угле атаки переход ламинарного течения в турбулентное на линии симметрии начинается при  $Re_t=10^6$  и заканчивается при  $Re_t=2 \cdot 10^6$ . Увеличение угла атаки до  $\alpha=-5,5^\circ$  приводит при том же значении  $Re_L$  к удалению области перехода от вершины крыла и уменьшению ее длины. С увеличением  $Re_L$  при этом угле атаки область перехода, как уже отмечалось выше, смещается к вершине крыла. При  $Re_L=6,5 \cdot 10^6$  числа Рейнольдса начала  $Re_t$  и конца перехода  $Re_t$  равны  $8,7 \cdot 10^5$  и  $1,7 \cdot 10^6$ . При этом точка начала перехода удалена от вершины крыла приблизительно на 33 мм, т. е. большая часть верхней поверхности крыла в окрестности линии симметрии занята в этом случае клиновидной областью переходного и турбулентного течений (см. фиг. 1). В области турбулентного течения величины  $St_\infty$  на линии симметрии и на линии присоединения практически одинаковы.

При  $\alpha=-5,5^\circ$  и  $Re_L=3,9 \cdot 10^6$  с увеличением  $M_\infty$  от 3 до 4 область перехода движется к вершине крыла (фиг. 4, точки 1, 2 — данные [1]). Далее с ростом  $M_\infty$  область перехода начинает удаляться от вершины, в связи с чем  $Re_t$  и  $Re_t$  (сплошная и штриховая кривые) быстро растут. При этом, по-видимому, изменяется на противоположное по сравнению с ва-



Фиг. 4



Фиг. 5

риантом  $M_\infty=3$  влияние  $Re_L$  на числа Рейнольдса перехода, как это наблюдалось в [1] при  $M_\infty=6$ .

Как показано на фиг. 5 (данные 1, 2 –  $M_\infty=3, 4$ ), увеличение угла атаки крыла приводит к росту чисел  $Re_t$  (светлые точки) и  $Re_{t\infty}$  (темные точки) на его верхней поверхности.

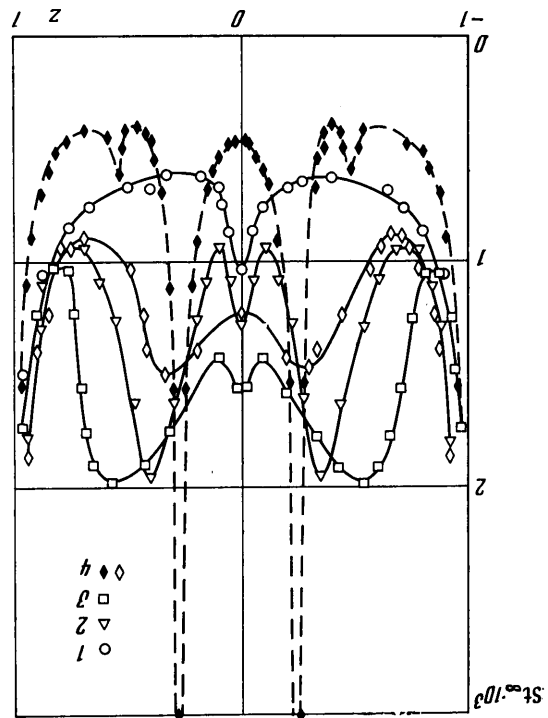
При  $\alpha=-10^\circ$  переход ламинарного течения в турбулентное здесь уже не наблюдается. Связано это с тем, что при таком угле атаки срывные зоны сближаются и линия симметрии становится линией растекания. Течение на линии растекания более устойчиво к переходу, чем плоскопараллельное, существующее в окрестности линии симметрии при меньших углах атаки.

3. На нижней поверхности крыла угол атаки слабо влияет на положение начала перехода пограничного слоя (фиг. 5, точки 3 –  $M_\infty=5$ ). Зависимость  $Re_t(\alpha)$  имеет минимум при  $\alpha \approx -3^\circ$ , а с дальнейшим увеличением угла атаки начинает возрастать, как и на плоской нижней поверхности крыла [4, 6]. Числа Рейнольдса перехода вычислены в данном случае по параметрам набегающего потока и расстоянию  $x_1$  от передней кромки крыла вдоль сечения длиной  $l$ , проходящего через вершину турбулентного клина параллельно плоскости симметрии. Оно показано на фотографии нижней поверхности крыла с термоиндикаторным покрытием, сделанной при  $\alpha=-15^\circ$  (фиг. 6).

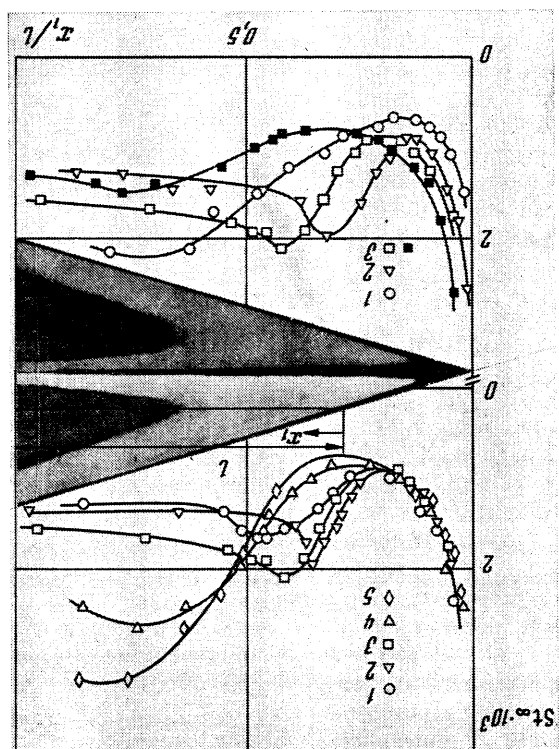
На фиг. 6 вверху приведены зависимости распределения  $St_\infty$  вдоль указанного сечения от угла атаки, полученные при  $M_\infty=5$  и  $Re_L=2,3 \cdot 10^6$ . Точкам 1–5 соответствуют значения  $\alpha=0; -3; -5,5; -9,5$  и  $-15^\circ$ . Увеличение  $\alpha$  практически не влияет на теплоотдачу в ламинарной области течения, но приводит к возрастанию максимальных чисел Стантона в конце перехода от  $1,7 \cdot 10^{-3}$  при  $\alpha=0$  до  $3,2 \cdot 10^{-3}$  при  $\alpha=-15^\circ$ .

Модель крыла представляет собой пирамиду, грани которой наклонены под углом  $30^\circ$  к верхней плоской поверхности в нормальном к передним кромкам сечении, что вызывает существенно более ранний переход пограничного слоя по сравнению с плоской нижней поверхностью крыла. Это показано на фиг. 6 внизу, где приведены распределения  $St_\infty$  в рассматриваемом сечении при  $\alpha=-5,5^\circ$ . Светлые точки 1–3 соответствуют пирамидальной нижней поверхности и числам  $M_\infty=3, 4, 5$ ;  $Re_L=3,2 \cdot 10^6, 3,1 \cdot 10^6$  и  $2,2 \cdot 10^6$ . Темные точки 3 относятся к плоской поверхности при  $M_\infty=5$ ,  $Re_L=1,8 \cdot 10^6$ . Переход от плоской к пирамидальной нижней поверхности приводит к уменьшению координат

Фиг. 7



Фиг. 6



точек начала и конца перехода приблизительно в 2 раза и росту тепловых потоков в конце области перехода. Увеличение  $M_\infty$  при постоянном  $Re_L$  также приводит к смещению области перехода на нижней поверхности к передней кромке. Это хорошо видно по распределению теплоотдачи в нормальных к плоскости симметрии крыла сечениях, соответствующих  $Re_x = 1,3 \cdot 10^6$ ,  $\alpha = -5,5^\circ$  и  $M_\infty = 3, 4, 5$  (фиг. 7, точки 1–3). Точки 4 получены при  $M_\infty = 5$ , светлые — на наветренной плоской поверхности крыла ( $\alpha = -5,5^\circ$ ), темные — на плоской подветренной ( $\alpha = -5,5^\circ$ ). Максимальные значения  $St_\infty$  в пиках теплоотдачи, вызванных отрывными течениями на подветренной поверхности, приблизительно в 2 раза превышают турбулентный уровень теплоотдачи на плоской наветренной поверхности крыла и в 1,5 — на пирамидальной.

Приведенные результаты показывают, что теплообмен на подветренной поверхности крыла, обусловленный отрывом и переходом, может вносить существенный вклад в его аэродинамическое нагревание.

#### ЛИТЕРАТУРА

1. Whitehead Aten. H., Jr. Effect of Vortices on Delta Wing Lee-Side Heating at Mach 6 // AIAA Journal. 1970. V. 8. № 3. P. 599–600.
2. Rao D. M., Whitehead A. H., Jr. Lee-Side Vortices on Delta Wings at Hypersonic Speeds // AIAA Journal. 1972. V. 10. № 11. P. 1458–1465.
3. Давыдова Н. А., Зайцев Ю. И., Юшин А. Я. Экспериментальное исследование аэродинамического нагревания верхней поверхности плоских треугольных крыльев при сверхзвуковых скоростях // Уч. зап. ЦАГИ. 1974. Т. 5. № 5. С. 77–84.
4. Whitehead Aten. H., Jr., Keyes J. Wagne. Flow Phenomena and Separation over Delta Wings with Trailing-Edge Flaps at Mach 6 // AIAA Journal. 1968. V. 6. № 12. P. 2380–2387.
5. Калинина С. В., Корнилов В. И. Влияние угла стреловидности и единичного числа Рейнольдса на переход пограничного слоя при сверхзвуковых скоростях // ПМТФ. 1973. № 1. С. 159–162.
6. Давыдова Н. А., Юшин А. Я. Экспериментальное исследование влияния угла атаки на переход ламинарного пограничного слоя в турбулентный около нижней поверхности треугольных пластин с острыми кромками // Уч. зап. ЦАГИ. 1975. Т. 6. № 1. С. 48–56.
7. Бражко В. Н., Косых А. П., Шкирин Н. Н. Исследование теплопередачи на клиньях со склоненной передней кромкой и изломом образующей // Уч. зап. ЦАГИ. 1984. Т. 15. № 4. С. 29–37.
8. Боровой В. Я. Течение газа и теплообмен в зонах взаимодействия ударных волн с пограничным слоем. М.: Машиностроение, 1983. 141 с.
9. Башкин В. А. Расчет коэффициентов сопротивления трения и теплопередачи пластины, конуса и тупоносого тела в окрестности критической точки при ламинарном течении в пограничном слое без учета диссоциации // Тр. ЦАГИ. 1964. Вып. 937. С. 12–78.

Москва

Поступила в редакцию  
22.II.1988: